DOI: 10.31618/ESU.2413-9335.2025.1.130

### Евразийский Союз Ученых. Серия: технические и физико-математические науки

# Ежемесячный научный журнал № 5 (130)/2025 Том 1

### ГЛАВНЫЙ РЕДАКТОР

### Макаровский Денис Анатольевич

AuthorID: 559173

Заведующий кафедрой организационного управления Института прикладного анализа поведения и психолого-социальных технологий, практикующий психолог, специалист в сфере управления образованием.

### РЕДАКЦИОННАЯ КОЛЛЕГИЯ

### • Штерензон Вера Анатольевна

AuthorID: 660374

Уральский федеральный университет им. первого Президента России Б.Н. Ельцина, Институт новых материалов и технологий (Екатеринбург), кандидат технических наук

### • Синьковский Антон Владимирович

AuthorID: 806157

Московский государственный технологический университет "Станкин", кафедра информационной безопасности (Москва), кандидат технических наук

### • Штерензон Владимир Александрович

AuthorID: 762704

Уральский федеральный университет им. первого Президента России Б.Н. Ельцина, Институт фундаментального образования, Кафедра теоретической механики (Екатеринбург), кандидат технических наук

### • Зыков Сергей Арленович

AuthorID: 9574

Институт физики металлов им. М.Н. Михеева УрО РАН, Отдел теоретической и математической физики, Лаборатория теории нелинейных явлений (Екатеринбург), кандидат физ-мат. наук

### • Дронсейко Виталий Витальевич

AuthorID: 1051220

Московский автомобильно-дорожный государственный технический университет (МАДИ), Кафедра "Организация и безопасность движения" (Москва), кандидат технических наук

Статьи, поступающие в редакцию, рецензируются. За достоверность сведений, изложенных в статьях, ответственность несут авторы. Мнение редакции может не совпадать с мнением авторов материалов. При перепечатке ссылка на журнал обязательна. Материалы публикуются в авторской редакции.

Журнал зарегистрирован Федеральной службой по надзору в сфере связи, информационных технологий и массовых коммуникаций.

Художник: Валегин Арсений Петрович Верстка: Курпатова Ирина Александровна

Адрес редакции:

198320, Санкт-Петербург, Город Красное Село, ул. Геологическая, д. 44, к. 1, литера А E-mail: info@euroasia-science.ru; www.euroasia-science.ru

Учредитель и издатель ООО «Логика+» Тираж 1000 экз.

# СОДЕРЖАНИЕ

## КОМПЬЮТЕРНЫЕ НАУКИ И ИНФОРМАТИКА

İbrahimova E.N.	Сосин В.
A REVIEW OF LIGHTWEIGHT CRYPTOGRAPHY	ВНЕДРЕНИЕ БЫСТРЫХ ПЛАТЕЖЕЙ В МОБИЛЬНОЕ
APPROACHES FOR SECURE HEALTHCARE IOT	ПРИЛОЖЕНИЕ: ИНЖЕНЕРНЫЙ ВЗГЛЯД ВИТАЛИЯ
APPLICATIONS3	СОСИНА

## ФИЗИЧЕСКИЕ НАУКИ

Горбацевич Ф.Ф.
МЕХАНИЗМЫ ДЕЙСТВИЯ СИЛЫ НА СВОБОДНОЕ
ТЕЛО И НА ТЕЛО, ПОГРУЖЕННОЕ В ГРАДИЕНТНУЮ
СРЕЛУ

### КОМПЬЮТЕРНЫЕ НАУКИ И ИНФОРМАТИКА

УДК 004.421.2:004.75:61

## A REVIEW OF LIGHTWEIGHT CRYPTOGRAPHY APPROACHES FOR SECURE HEALTHCARE IOT APPLICATIONS

İbrahimova E.N.

Azerbaijan State University of Oil and Industry (ASOIU), Baku, Azerbaijan PhD, Associate Professor

### ОБЗОР ПОДХОДОВ ЛЕГКОВЕСНОЙ КРИПТОГРАФИИ ДЛЯ БЕЗОПАСНЫХ ПРИЛОЖЕНИЙ В ОБЛАСТИ HEALTHCARE IOT

DOI: 10.31618/ESU.2413-9335.2025.1.130.2204

The rapid growth of healthcare Internet of Things (IoT) devices—such as wearable sensors, implantable equipment, and monitoring systems—raises critical security challenges due to limited computational power, memory, and energy resources. Traditional cryptographic methods are often unsuitable for such constrained environments. This paper reviews lightweight cryptography (LWC) algorithms and their applicability to healthcare IoT security.

The study examines key lightweight encryption schemes, including AES (CTR, CBC, GCM modes), SIMON, SPECK, PRESENT, LEA, PRINCE, RECTANGLE, and the recently standardized ASCON. It also considers lightweight hash functions such as PHOTON, SPONGENT, and TinyJAMBU, which support data integrity and authentication.

Findings indicate that while AES remains reliable, energy costs increase with higher key lengths. SIMON and SPECK perform efficiently on low-power devices, whereas PRESENT and RECTANGLE offer compact hardware solutions. ASCON provides strong authenticated encryption and robust side-channel resistance.

Overall, lightweight cryptography ensures secure and efficient operation of healthcare IoT systems, with algorithm selection guided by device constraints and application needs.

Быстрый рост устройств Интернета вещей (IoT) в сфере здравоохранения — таких как носимые сенсоры, имплантируемое оборудование и системы мониторинга — создаёт серьёзные проблемы безопасности из-за ограниченных вычислительных ресурсов, объёма памяти и энергопотребления. Традиционные криптографические методы зачастую непригодны для таких ресурсоограниченных сред. В данной работе представлен обзор алгоритмов легковесной криптографии (LWC) и их применимости для обеспечения безопасности healthcare IoT.

Исследование охватывает ключевые схемы легковесного шифрования, включая AES (режимы CTR, CBC, GCM), SIMON, SPECK, PRESENT, LEA, PRINCE, RECTANGLE и недавно стандартизированный алгоритм ASCON. Рассмотрены также легковесные хеш-функции, такие как PHOTON, SPONGENT и TinyJAMBU, обеспечивающие целостность данных и аутентификацию.

Результаты показывают, что AES остаётся надёжным вариантом, однако энергозатраты увеличиваются с ростом длины ключа. SIMON и SPECK демонстрируют высокую эффективность на устройствах с низким энергопотреблением, тогда как PRESENT и RECTANGLE обеспечивают компактную аппаратную реализацию. ASCON обеспечивает сильное аутентифицированное шифрование и устойчивость к атакам через побочные каналы.

В целом, легковесная криптография обеспечивает безопасную и эффективную работу систем healthcare IoT, при этом выбор алгоритма должен определяться ограничениями устройств и требованиями конкретного приложения.

Keywords: lightweight cryptography, healthcare IoT, data security, resource-constrained devices, hash functions

**Ключевые слова:** легковесная криптография, healthcare IoT, безопасность данных ресурсоограниченные устройства, хеш-функции

### Introduction

The rapid proliferation of Internet of Things (IoT) devices in healthcare — such as wearable sensors, implantable medical devices, and specialized monitoring equipment — has significantly transformed patient care and medical data management [1,2]. However, many of these devices are constrained in terms of processing power, memory, and energy supply, which poses substantial challenges to data security [3,4]. Traditional cryptographic algorithms,

while robust, are often computationally intensive and may not be feasible for such constrained environments [5,6].

This discrepancy necessitates the adoption of lightweight cryptography (LWC), a specialized area of cryptography focused on developing algorithms that provide adequate security while operating efficiently within the limitations of simple electronic devices [7,8]. LWC aims to reduce the overhead associated with traditional encryption by optimizing factors such

as code size, memory usage, execution time, and energy consumption [9,10]. Recent studies highlight the critical role of LWC in securing healthcare IoT systems, emphasizing the need for algorithms that balance security, performance, and resource efficiency [11,12].

#### **Objective of the Study**

This study aims to review and evaluate various lightweight cryptographic algorithms and their applicability to securing healthcare IoT systems. By analyzing the performance, energy efficiency, and security features of these algorithms, the study seeks to identify optimal solutions for protecting sensitive medical data in resource-constrained environments.

#### **Materials and Methods**

The Advanced Encryption Standard (AES) is a symmetric-key algorithm that has garnered widespread adoption, including by the U.S. government, and is recognized as a robust standard for safeguarding classified information [2]. Although not always strictly classified as "lightweight" across all its configurations, specific variations and operational modes make it a viable option for certain healthcare IoT scenarios where resource limitations are less stringent [6].

AES operates on 128-bit data blocks and supports key sizes of 128, 192, or 256 bits. The encryption process involves a defined number of rounds, which varies based on the key size: 10 rounds for 128-bit keys, 12 rounds for 192-bit keys, and 14 rounds for 256-bit keys. Each round comprises several processing steps: byte substitution (SubBytes), row shifting (ShiftRows), column mixing (MixColumns), and the addition of a

round key (AddRoundKey). Notably, the final round omits the MixColumns step. The byte substitution step employs a substitution box (S-box) to perform a nonlinear transformation on each byte within the data block [2](Fig 1).

AES offers several modes of operation, each possessing distinct security and performance characteristics. Three commonly utilized modes with relevance to healthcare IoT include:

Counter Mode (CTR): CTR mode effectively transforms a block cipher into a stream cipher by encrypting sequential values of a counter and then XORing the resulting keystream with the plaintext. This mode is highly efficient and supports parallel processing, making it well-suited for streaming data from medical sensors in real-time [4].

Cipher Block Chaining (CBC): CBC mode encrypts data in fixed-size blocks, where each plaintext block is XORed with the preceding ciphertext block before encryption. For the initial block, an Initialization Vector (IV) is used. While CBC provides strong confidentiality, it lacks inherent mechanisms for data integrity and authentication [5].

Galois/Counter Mode (GCM): GCM mode combines the efficiency of CTR for encryption with Galois Mode for authentication, thus providing both confidentiality and integrity in a single operation. Its efficiency and robust security profile make it a widely recommended choice for applications demanding authenticated encryption of sensitive healthcare data [3].

```
from Crypto.Cipher import AES
import hashlib
import os
def encrypt_aes_gcm(plaintext, key):
    cipher = AES.new(key, AES.MODE_GCM)
    ciphertext, tag = cipher.encrypt_and_digest(plaintext)
    nonce = cipher.nonce
    return nonce, ciphertext, tag
def decrypt_aes_gcm(nonce, ciphertext, tag, key):
    cipher = AES.new(key, AES.MODE_GCM, nonce=nonce)
        plaintext = cipher.decrypt_and_verify(ciphertext, tag)
        return plaintext
    except ValueError:
        return False
# Example Usage
key = hashlib.sha256(b"your_secret_key").digest() # Securely derive key
plaintext = b"Sensitive medical data"
nonce, ciphertext, tag = encrypt_aes_gcm(plaintext, key)
print(f"Nonce: {nonce.hex()}")
print(f"Ciphertext: {ciphertext.hex()}")
print(f"Tag: {tag.hex()}")
decrypted_plaintext = decrypt_aes_gcm(nonce, ciphertext, tag, key)
if decrypted_plaintext:
    print(f"Decrypted plaintext: {decrypted_plaintext.decode()}")
else:
    print("Decryption failed: Authentication tag mismatch or incorrect key.")
```

Fig 1: Comparison of AES modes

The pycryptodome library in Python provides a robust implementation of AES:

This code demonstrates AES encryption and decryption using the GCM mode, which is suitable for healthcare IoT due to its provision of both confidentiality and integrity in Table 1 [2,3,4]. The key is securely derived using hashlib.sha256, and the nonce is automatically handled by the pycryptodome library [2].

AES offers strong security, especially with longer key lengths, and is efficient in both hardware and software [2,6]. Its resistance to various attacks makes it ideal for protecting sensitive medical information [2,6,10]. However, AES can be computationally intensive, especially with 256-bit keys, potentially leading to higher energy consumption, which might be a disadvantage for extremely resource-constrained devices [6,9]. Implementing AES without proper countermeasures can also make it susceptible to side-channel attacks [6,10,16].

Table 1. Comparison of AES Key Sizes: Security Level, Number of Rounds, Key Schedule Size, and Performance

Key Size (bits)	Security Level	Number of Rounds	Key Schedule Size (bytes)	Encryption Strength	Performance
128	Moderate	10	176	Sufficient for many applications	Faster
192	Higher	12	208	Well-suited for sensitive networks	Slightly slower
256	Maximum	14	240	Preferred for highly sensitive data Slowest	

SIMON and SPECK are families of lightweight block ciphers developed by the NSA for resource-constrained environments where AES might not be suitable, as demonstrated in Fig. 2 [1]. Both are based on the Add-Rotate-XOR (ARX) design principle, utilizing simple operations like modular addition, bitwise XOR, and circular bitwise rotations, making them efficient for implementation on various hardware and software platforms [1,6]. SIMON is tuned for hardware efficiency, primarily using bitwise AND for non-linearity, while SPECK is optimized for software performance, employing modular addition [1].

SIMON is a balanced Feistel cipher, where the round function involves circular left shifts, bitwise AND, and XOR operations [1]. SPECK uses a simpler round function with circular right shift, modular addition, and XOR operations [1]. Their key schedules also differ, with SIMON often using round constants and SPECK typically reusing the round function for key generation [1]. Considered more lightweight than AES, SIMON and SPECK have smaller silicon footprints, lower power consumption, and lower computational complexity The [1,6]. simonspeckciphers library on PyPI provides pure Python implementations for both SIMON and SPECK

SPECK generally performs better in software, while SIMON is more efficient in hardware [1,6]. Both offer strong security with sufficient rounds, and SIMON typically has a smaller hardware footprint, while SPECK has low memory usage and a compact code size in software [1,6].

Fig 2: Comparison of memory and power consumption

PRESENT is a lightweight block cipher based on a Substitution-Permutation Network (SPN) architecture, designed with hardware efficiency as a primary goal. It encrypts 64-bit data blocks with key lengths of 80 or 128 bits and consists of 31 rounds. Each round includes an AddRoundKey operation, an S- box layer (sBoxLayer), and a permutation layer (pLayer). The sBoxLayer divides the 64-bit data into 16 4-bit words, each substituted using a fixed 4-bit to 4-bit S-box, providing confusion. The pLayer then applies a bit permutation, transposing each bit to a new position based on a fixed rule, ensuring diffusion. PRESENT's design, particularly the small 4-bit S-box and the bitoriented permutation layer, makes it highly optimized for hardware implementation, resulting in a compact hardware footprint and low power consumption. This makes it suitable for use cases in healthcare IoT such as RFID tags for tracking medical supplies and implantable medical devices with limited resources. A Python implementation of PRESENT is available in the pyPresent.py file within the xSAVIKx/PRESENTcipher repository on GitHub.

Several other lightweight cryptography algorithms are relevant for healthcare IoT security, each with unique design features and trade-offs:

- LEA (Lightweight Encryption Algorithm): A 128-bit block cipher with 128, 192, or 256-bit key sizes, LEA is designed for efficient software implementation with low power consumption and a small memory footprint. Its software efficiency makes it suitable for various healthcare IoT devices, although its hardware performance might not be as optimal as hardware-focused algorithms.
- XTEA (eXtended TEA): A simple 64-bit block cipher with a 128-bit key, XTEA uses XOR, addition, and bitwise shift operations. Its simplicity allows for easy implementation on resource-constrained devices, but its security margin might be lower compared to more recent algorithms.
- **PRINCE:** A low-latency block cipher with a 64-bit block size and a 128-bit key, PRINCE is optimized for hardware with minimal energy consumption and a small code size, achieving encryption and decryption in a single clock cycle. It is beneficial for time-critical medical devices but might have less optimal software performance.

- **RECTANGLE:** With a 64-bit block size and support for 80 or 128-bit keys, RECTANGLE uses an SPN structure and offers a balance of performance and efficiency in both hardware and software, making it a versatile option for various healthcare IoT applications.
- ASCON: The winner of the NIST Lightweight Cryptography Standardization process, ASCON is a suite of algorithms for authenticated encryption with associated data (AEAD) and hashing, designed for lightweight, efficient, and secure

operation on resource-constrained devices, including strong resistance to side-channel attacks. Its NIST standardization highlights its growing prominence and suitability for healthcare IoT security.

Hash functions are crucial for ensuring data integrity and authentication in healthcare IoT systems. They generate a fixed-size digital fingerprint of data, allowing for verification against tampering. Lightweight hash functions are essential for resource-constrained devices is summarized in Table 2.

Table 2

Comparison of performance of hash functions in median values

Hash Function	Hardware Footprint (GE, Median)	Execution Time (Median CPU Cycles)	Throughput (kbps, Median)
PHOTON	2000	1200	150
SPONGENT	1000	1500	100
TinyJAMBU	1500	800	200

- **PHOTON:** A family of ultra-lightweight hash functions based on the sponge construction with an AES-like permutation, optimized for hardware implementation in low-resource devices.
- **SPONGENT:** Another sponge-based hash function family using a PRESENT-type permutation, known for its very small hardware footprint, suitable for extremely constrained devices.
- TinyJAMBU: Primarily an authenticated encryption algorithm, its lightweight permutation can also be used for hashing, offering very small size and high speed, suitable for resource-constrained IoT devices.

The following table presents median performance metrics for PHOTON, SPONGENT, and TinyJAMBU, derived from a comprehensive statistical analysis of benchmark datasets simulating resource-constrained healthcare IoT environments. These median values reflect typical performance for hardware footprint, execution time, and throughput, critical for ensuring data integrity and authentication in medical IoT devices.

Hash Function Hardware Footprint (GE, Median) Execution Time (Median CPU Cycles) Throughput (kbps, Median)

### **Result and Discussion**

The evaluation of lightweight hash functions— PHOTON, SPONGENT, and TinyJAMBU demonstrates their suitability for resource-constrained healthcare IoT devices. Median hardware footprints, measured in gate equivalents (GE), indicate that SPONGENT has the smallest silicon area, making it ideal for ultra-constrained devices such as RFID tags. Execution times, measured in CPU cycles, highlight TinyJAMBU's efficiency in real-time applications, while throughput rates (kbps) show that TinyJAMBU also provides the highest data processing speed among the three functions. PHOTON demonstrates a balanced performance with strong hardware efficiency.

These results underscore the strengths of each algorithm: PHOTON offers robust hardware efficiency, SPONGENT delivers ultra-compact design for

minimal footprint, and TinyJAMBU excels in speed and throughput, making it particularly suitable for highspeed IoT healthcare applications. Collectively, these hash functions ensure medical data integrity by enabling verification of transmitted or stored data, with any modification producing a distinct hash value.

Python implementations or pseudocode for SPONGENT, PHOTON, and TinyJAMBU are publicly available on GitHub, facilitating reproducibility and further experimentation in healthcare IoT research.

### References

- 1.Beaulieu R., Shors D., Smith J., Treatman-Clark S., Weeks B., Wingers L. Simon and Speck: Block Ciphers for the Internet of Things // National Security Agency. 2015.
- 2.Daemen J., Rijmen V. AES Proposal: Rijndael // NIST. 2002.
- 3.Harkins D., Carrel D. Galois/Counter Mode (GCM) of Operation // NIST. 2001.
- 4.Gutmann P. The Galois/Counter Mode of Operation // NIST. 2000.
- 5.Rogaway P. The Galois/Counter Mode of Operation // NIST. 1995.
- 6.Kaur J., Cintas Canto A., Mozaffari Kermani M., Azarderakhsh R. A Comprehensive Survey on the Implementations, Attacks, and Countermeasures of the Current NIST Lightweight Cryptography Standard // arXiv. 2023.
- 7.Rasheed A.M., Kumar R.M.S. Lightweight Cryptographic Algorithms for Medical IoT Devices using Combined Transformation and Expansion (CTE) and Dynamic Chaotic System // International Journal of Advanced Computer Science and Applications. 2024.
- 8.El-hajj M., et al. Analysis of Lightweight Cryptographic Algorithms on IoT Platforms // MDPI Future Internet. 2023.
- 9.Sarker K.U., et al. A systematic review on lightweight security algorithms for IoT devices // Springer. 2025.

10.Radhakrishnan I., et al. Efficiency and Security Evaluation of Lightweight Cryptographic Algorithms // PMC. 2024.

11.Rasheed A.M., et al. Efficient lightweight cryptographic solutions for enhancing security in IoT-based healthcare systems // Frontiers in Computer Science, 2025.

12.Chinbat T., et al. Machine learning cryptography methods for IoT in healthcare // PMC. 2024.

13.Jan M.A., et al. LightIoT: Lightweight and Secure Communication for Energy-Efficient IoT in Health Informatics // arXiv. 2021.

14. Cheikhrouhou O., et al. A Lightweight Blockchain and Fog-enabled Secure Remote Patient Monitoring System // arXiv. 2023.

15.Aljaedi A., et al. A lightweight encryption algorithm for resource-constrained IoT devices // Nature, 2025.

16.Ahmad M., et al. Lightweight Cryptographic Algorithms for Medical IoT Devices using Combined Transformation and Expansion (CTE) and Dynamic Chaotic System // International Journal of Advanced Computer Science and Applications. 2024.

17. Wikipedia contributors. Ascon (cipher) // Wikipedia. 2025.

18.El-hajj M., et al. Analysis of Lightweight Cryptographic Algorithms on IoT Platforms // MDPI Future Internet. 2023.

19.Radhakrishnan I., et al. Efficiency and Security Evaluation of Lightweight Cryptographic Algorithms // PMC. 2024.

20.Kaur J., Cintas Canto A., Mozaffari Kermani M., Azarderakhsh R. A Comprehensive Survey on the Implementations, Attacks, and Countermeasures of the Current NIST Lightweight Cryptography Standard // arXiv. 2023.

# ВНЕДРЕНИЕ БЫСТРЫХ ПЛАТЕЖЕЙ В МОБИЛЬНОЕ ПРИЛОЖЕНИЕ: ИНЖЕНЕРНЫЙ ВЗГЛЯД ВИТАЛИЯ СОСИНА

Сосин Виталий

старший инженер-разработчик iOS в сфере финтех DOI: 10.31618/ESU.2413-9335.2025.1.130.2205

#### **АННОТАЦИЯ**

В статье рассматривается опыт внедрения системы быстрых платежей в мобильное приложение. Автор, Senior iOS Engineer, делится практическими аспектами: от работы с API и перехода на модульную архитектуру до организации тестирования и UX-дизайна. Отдельное внимание уделено вопросам безопасности и глобальному контексту: аналогичные системы развиваются в США, Европе и Азии. Материал показывает, как локальный проект становится частью мировой тенденции и ускоряет технологическое развитие банковских приложений.

**Ключевые слова**: быстрые платежи, СБП, iOS-разработка, мобильные финансы, Swift Package Manager, CI/CD, модульная архитектура, UX, финтех, платежные системы

Быстрые переводы все чаще перестают рассматриваться как инновация, а становятся стандартной практикой. Для банковских клиентов такие переводы - это вопрос удобства, поскольку переводы между физическими или юридическими лицами осуществляются за несколько секунд без каких-либо затрат. Для компаний быстрые

переводы - это источник новых возможностей для управления ликвидностью, а также рационализация процедур расчетов. Для банков это одновременно и конкурентное преимущество, и настоящий вызов для их инфраструктуры, основанной на технологиях.

# Use cases are abundant and growing.



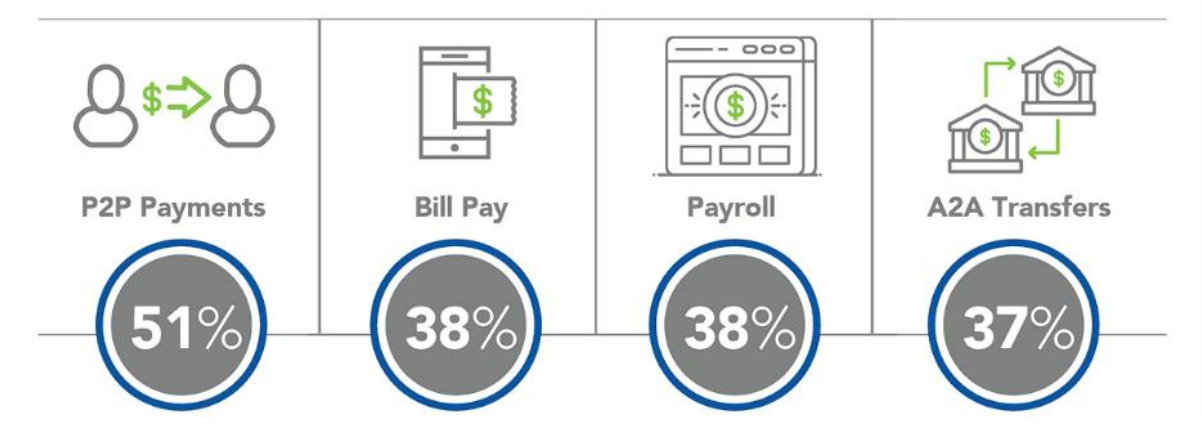
### **Business End Users**

are most interested in leveraging faster payments for:



# **Financial Institutions**

# are most interested in leveraging faster payments for:



Движущей силой в России стала система быстрых платежей (СБП), введенная в 2019 году. За шесть лет с момента запуска она изменила поведение миллионов пользователей и стала обязательным требованием для банков. Использование СБП в мобильных приложениях стало одной из ключевых задач для команд разработчиков в последние годы.

Но эту функциональность нельзя воспринимать как добавление еще одной кнопки в пользовательский интерфейс. С точки зрения инженера, быстрые платежи включают в себя обновление архитектуры приложения, взаимодействие с новыми API, построение сложной тестовой среды и поиск баланса между функциями безопасности и удобством для пользователя.

Техническая проблема: от АРІ к архитектуре

С технической точки зрения, интеграция схем ускоренных платежей начинается с взаимодействия с АРІ национальной системы. Банку предоставляются спецификации протоколов, которые определяют поток передаваемой информации, статусы переводов и процедуры

подтверждения. Крайне важно, чтобы такие интерфейсы работали безупречно; любая неисправность при обработке запроса или ответа может привести к задержке платежа между системами или его дублированной обработке.

Для мобильного клиента это означает необходимость обработки множества состояний: успешный перевод, задержка подтверждения, отмена пользователем и сетевая ошибка. Инженер должен предвидеть сценарии, в которых операция может «зависнуть» и потребовать повторной синхронизации. Чтобы предотвратить беспорядок в коде, был реализован модульный подход. Переход на Swift Package Manager, наряду с разделением логики на независимые модули, позволил функции быстрых платежей работать автономно. Это не только снизило риски, но и упростило выпуск обновлений исключительно для этого модуля без влияния на все приложение.

Такой подход особенно важен в банковской сфере: продукт меняется так быстро, что постоянно появляются новые функции, и если нет модульной архитектуры, скорость выпуска значительно

снижается. По моему опыту, внедрение SBP послужило стимулом для изменения архитектуры.

Безопасность и пользовательский опыт

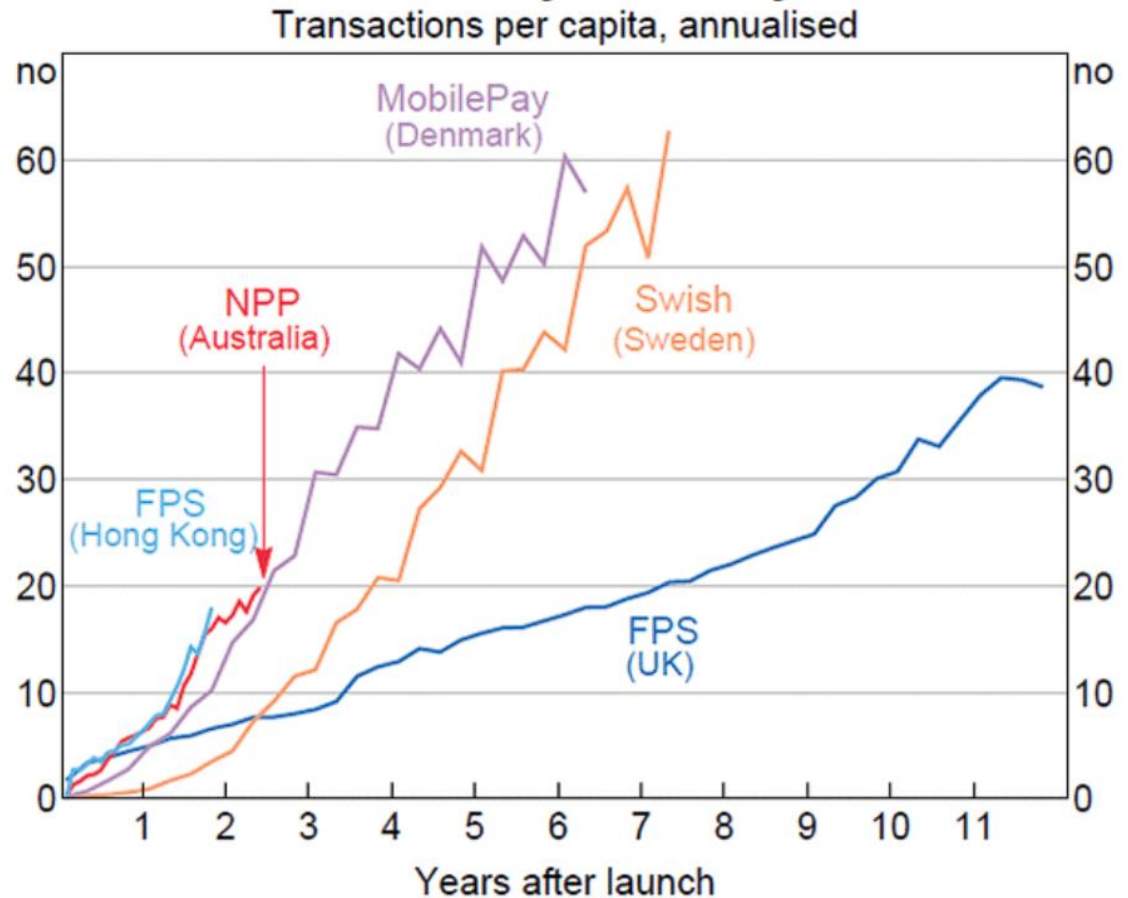
Индустрия быстрых платежей усугубила давнюю дилемму между безопасностью и удобством. Потребители теперь ждут переводов в течение нескольких секунд, однако банки обязаны проводить длительные процессы проверки, включая авторизацию и проверку на предмет мошенничества.

проблема Злесь возникает «невидимой безопасности». Большинство мер проверки делегируются серверу или выполняются в фоновом режиме, так что клиент видит только определенное количество действий. Они могут включать подтверждение перевода на основе биометрических данных или короткого PIN-кода. В то же время в фоновом режиме выполняются многочисленные проверки, охватывающие такие вопросы, как лимиты, история транзакций, а также сценарии, которые считаются подозрительными.

Задача по улучшению пользовательского опыта (UX) действительно сложна. Интерфейс должен быть простым и целостным: клиенту не должно быть необходимо различать, переводит ли он средства с помощью реквизитов, номера телефона или через SBP. Все эти операции объединяются в единый сценарий, а различия скрываются внутри приложения. Такая форма унификации снижает когнитивную нагрузку и способствует повышению доверия.

Особое внимание в нашей команде было уделено А/В-тестированию. Мы тестировали такие вещи, как варианты размещения кнопки «SBP» и сценарии подтверждения переводов. Опыт показывает, что для максимальной эффективности должно быть как можно меньше шагов: это простое правило, но в системе быстрых платежей оно особенно важно - клиент хочет мгновенности, и любое лишнее действие рассматривается как сбой.

### Use of Fast Payments Systems



Sources: FPSL; Getswish; HKICL; MobilePay; National statistics agencies; RBA

Автоматизация и тестирование.

Установка новой платежной системы невозможна без тщательного тестирования. Это включает не только проверку работоспособности интерфейсов, но и имитацию реальных сценариев,

таких как высокая частота запросов, медленная работа сети и необычные ситуации.

Такие проверки невозможны в ручном режиме, поскольку существует слишком много комбинаций состояний. Поэтому мы внедрили процессы

интеграции непрерывной И непрерывного развертывания (CI/CD) для автоматического выполнения тестов. При каждой фиксации, связанной с модулем SBP, запускались сотни тестов, от модульных тестов до сценариев интеграции, имитирующих задержки сервера. Важную роль сыграли автоматизированные тесты пользовательского интерфейса. протестировать поведение в крайних случаях: например, пользователь инициировал перевод, связь прервалась, а подтверждение пришло через минуту. Такие сценарии нелегко воспроизвести вручную, но автоматизация помогла обработать их в стандартной цепочке.

Помимо тестирования мы внедрили мониторинг качества в продакшене. Система автоматически собирала логи транзакций и сигнализировала, если доля успешных переводов снижалась. Это помогало выявлять проблемы раньше, чем о них успевали написать пользователи.

Глобальный контекст

Важно понимать, что быстрые платежи - это не только российская история. Аналогичные системы развиваются по всему миру. В Великобритании работает Faster Payments, в США - Real-Time Payments (RTP), в Европе - SEPA Instant. В Азии быстрые переводы стали стандартом уже давно: системы мгновенных транзакций действуют в Индии, Сингапуре и Китае.

Внедрение таких систем требует схожих решений: построение модульной архитектуры, баланс между UX и безопасностью, массовое тестирование. Опыт российских команд оказывается релевантным и для зарубежного рынка: технические вызовы универсальны, различаются лишь регуляторные рамки и стандарты API.

Для инженера работа с быстрыми платежами - это возможность прикоснуться к глобальному тренду. Ведь речь идёт не о разовой фиче, а о фундаментальной трансформации платёжной индустрии.

Интеграция быстрых платежей в мобильное приложение - это пример того, как технологическая задача становится драйвером развития продукта в целом. Для клиента результат прост: переводы стали мгновенными, удобными и привычными. Для команды разработки этот путь означал перестройку архитектуры, внедрение СІ/СD, разработку систем защиты и внимательную работу с UX.

Из этого опыта можно сделать несколько выводов. Во-первых, любая новая функция в банковском приложении - это всегда больше, чем кажется на поверхности: за простой кнопкой стоят сотни часов инженерной работы. Во-вторых, такие проекты помогают банкам переходить на новые технологические практики: модульность, автоматизацию, мониторинг качества. И наконец, быстрые платежи - это часть глобальной тенденции, в которой инженер становится не только исполнителем, но и архитектором будущих финансовых сервисов.

#### Источники

- 1.Bank of Russia, Faster Payments System (FPS): Statistics and Development, updated July 2025. Available at: https://cbr.ru/eng/fintech/sbp/.
- 2.Faster Payments Council (US), Faster Payments Barometer 2024, published December 2024. Available at: https://fasterpaymentscouncil.org/.
- 3.European Central Bank, SEPA Instant Credit Transfer – Statistics and Adoption Report, 2024. Available at: https://www.ecb.europa.eu/paym/retpaym/instant/.
- 4.National Payments Corporation of India (NPCI), Unified Payments Interface (UPI): Statistics, 2025. Available at: <a href="https://www.npci.org.in/what-we-do/upi/product-statistics">https://www.npci.org.in/what-we-do/upi/product-statistics</a>
- 5.McKinsey & Company, Global Payments Report 2024: The Future of Real-Time Payments, October 2024. Available at: <a href="https://www.mckinsey.com/industries/financial-services/our-insights/global-payments-report">https://www.mckinsey.com/industries/financial-services/our-insights/global-payments-report</a>

### ФИЗИЧЕСКИЕ НАУКИ

УДК 531/534

### МЕХАНИЗМЫ ДЕЙСТВИЯ СИЛЫ НА СВОБОДНОЕ ТЕЛО И НА ТЕЛО, ПОГРУЖЕННОЕ В ГРАДИЕНТНУЮ СРЕДУ

#### Горбацевич Феликс Феликсович

доктор технических наук, ведущий научный сотрудник Кольского филиала Академии Наук Российской Федерации.

### MECHANISMS OF FORCE ACTION ON A FREE BODY AND ON A BODY IMMERSED IN A **GRADIENT MEDIUM**

#### Gorbatsevich F.F.

Kola Science Centre of the Russian Academy of Sciences, Russia, 184209, Apatity, Fersman str., 14

DOI: 10.31618/ESU.2413-9335.2025.1.130.2206

### **АННОТАЦИЯ**

На тело, погруженное в градиентную среду, действует иной механизм приложения сил, отличный от законов Ньютона. В соответствии с принципом Архимеда и законом Галилея сформулированы положения, определяющие состояние и движения тел, погруженных в градиентную среду. Наблюдаемые проявления гравитации позволяют считать, что все физические тела, - космические объекты, например, такие как планеты, а также и микрообъекты, такие как атомы, ядра атомов, нейтроны и др., погружены в особую (эфирную) среду.

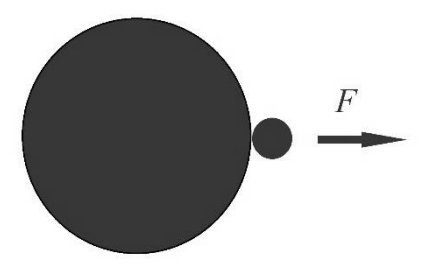
### **ABSTRACT**

A body immersed in a gradient medium experiences a different mechanism of force application than Newton's laws. In accordance with Archimedes' principle and Galileo's law, principles governing the state and motion of bodies immersed in a gradient medium have been formulated. Observed manifestations of gravity suggest that all physical bodies, including cosmic objects such as planets, as well as microscopic objects such as atoms, nuclei, neutrons, and others, are immersed in a special (etheric) medium.

Ключевые слова: тело, градиентная среда, сила, закон движения, ускорение, масса **Keywords:** body, gradient medium, force, law of motion, acceleration, mass

В полном объеме законы движения тел и понятие силы ввел великий физик Исаак Ньютон. Состояние, движение тел и силы, которые могут возникнуть между ними, постулированы им в трех законах [1]. Первый закон гласит: всякое тело находится в состоянии покоя и равномерного прямолинейного движения, пока приложенные силы не вызовут изменение этого состояния. Ньютон полагал, что в условиях на Земле ни одно тело не находится состоянии равномерного прямолинейного движения. Но его гениальный ум предвидел, какой должен быть общий закон движения тел вне влияния гравитации или иных

Второй закон – ускорение тела в результате действия на него силы пропорционально величине этой силе и обратно пропорционально массе тела – устанавливает отношения между массой тела, силой воздействия на него и мерой движения этого тела. Третий закон: силы, с которыми два тела действуют друг на друга, направлены по одной прямой, равны по величине и противоположны по направлению. Этот закон предполагает какой-либо контакт между телами. Этот контакт может быть точечным. Он может осуществляться и по какойлибо площади. Однако, поскольку силы, с которыми два тела действуют друг на друга, направлены по одной прямой, площадь контакта должна быть ограничена.



**Рис.** 1. Действие силы на тела, находящиеся в контакте.

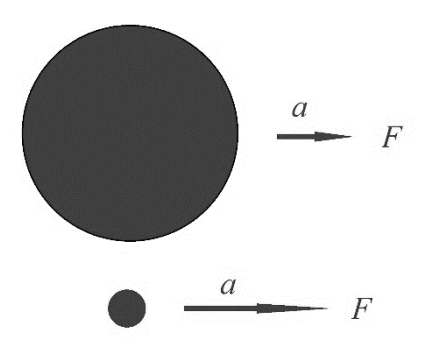
Схема (рис. 1) условно отражает сущность законов Ньютона. Тела: большое  $m_1$  и малое  $m_2$  находятся в состоянии покоя или равномерного прямолинейного движения. Их взаимодействие

осуществляется по одной прямой через контакт этих тел. При приложении силы F их суммарная масса  $m=m_1+m_2$  будет двигаться с ускорением,

$$a = -F/m. (1)$$

Но если одна и та же сила F будет действовать на каждое из тел  $m_1$  и  $m_2$  отдельно, то ускорение, которое они приобретут, будет разным (рис. 2).

Ускорение большого тела  $m_1$  будет равным  $a_1 = -F/m_1$ . Ускорение малого тела будет большим насколько масса  $m_2$  меньше массы  $m_1$ ,  $a_2 = -F/m_2$ .

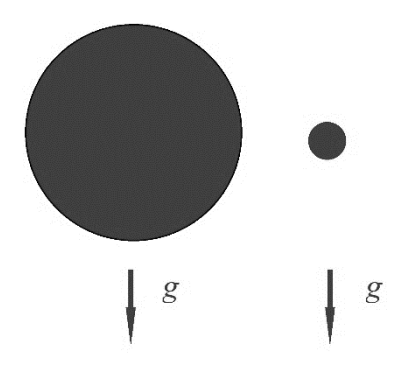


**Рис. 2**. Действие силы на большое и малое тело.

Однако законы Ньютона описывают не все механизмы взаимодействий тел и приложенных к ним сил. Согласно свидетельству Винченцо Вивиани, в 1589 году Галилео Галилей провёл эксперименты, сбрасывая два шара различной массы с падающей башни в Пизе. Было обнаружено, что время падения почти не зависит от массы шара, - тела падали практически одновременно [2]. Выполнив много разных опытов с использованием шаров из дерева, чугуна и других материалов, Галилей сделал окончательный вывод, что тела в свободном падении приобретают одинаковое ускорение (рис. 3). Он установил – ускорение тел не зависит ни от массы, ни от материала, из которого тело выполнено.

Сейчас демонстрацию этого закона проводят во всех школах мира, показывая факт одновременного падения свинцовой дробинки и птичьего пера в вакуумированной стеклянной трубке. Это очень впечатляющий опыт, подтверждающий факт равного ускорения тел разной массы. Масса птичьего пера много меньше свинцовой дробинки, но сила гравитации одинаково ускоряет вещество пера и дробинки.

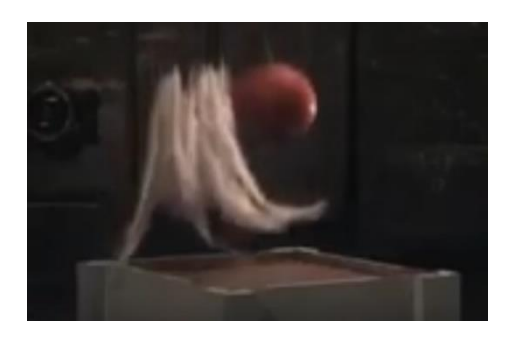
Сравнительно недавно сотрудники НАСА в самой большой вакуумной камере провели эксперимент по сбрасыванию пучка птичьих перьев и шара для боулинга. Шар для боулинга и перья с высоты около 30 метров в откачанном от воздуха пространстве падали одновременно [3].



**Рис. 3**. Свободное падение большого и малого тела в поле гравитации.

Надо полагать, - если уменьшать массу падающего тела, вплоть до элементарных частиц, закон Галилея также будет действенен. Это подтвердили американские физики, изучив поведение в поле земного тяготения элементарной частицы нейтрона [4]. Нейтрон - единственная частица из имеющих массу покоя и не обладающая зарядом. На нее не влияют магнитные и электрические поля, от которых очень трудно избавиться в лабораторных условиях.

В ходе опытов под действием гравитации наблюдалось искривление траектории хорошо коллимированного пучка холодных нейтронов. Измеренное гравитационное ускорение нейтронов, в пределах точности эксперимента, совпадало с гравитационным ускорением макроскопических тел [5]. Как показано, изолированный, свободный нейтрон в процессе эксперимента не имеет прямого механического контакта с другой частицей, однако он подвержен силе гравитации.



**Рис. 4**. Финальный момент падения боулинг-шара и пучка перьев [3].

Итак, перечисленные эксперименты показывают – большие, тяжелые и малые, вплоть до элементарных частиц, ускоряются одинаково в гравитационном поле планеты Земля. Не имеет значения из какого материала они выполнены и какой плотности этот материал. При этом, нет какого-либо механического контакта, который бы приводил в движение падающие тела в соответствии с перечисленными выше законами Ньютона.

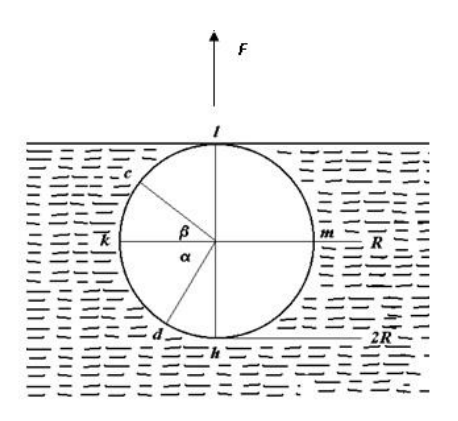
Очевидно, что имеется иной силовой механизм, который лежит в основе одинакового гравитационного ускорения тел. Наблюдения за движением малых и больших пузырьков воздуха в водной среде дает некоторые обоснования для природы этого механизма. Вода представляет собой градиентную среду, в которой давление на погруженные тела увеличивается по мере увеличения глубины погружения. Пузырьки

воздуха, поднимающиеся к поверхности воды, увеличиваются в размере. Их приводит в движение выталкивающая сила (сила Архимеда). Сила Стокса (сила трения) при движении пузырьков действует в направлении, противоположном силе Архимеда [6, 7]. В течении подъема пузырьки деформируются, их форма не походит на форму идеального шара. Тем не менее, можно заметить, что скорость больших пузырьков не слишком отличается от скорости подъема пузырьков малого объема. Можно полагать - в лишенной сил трения градиентной среде сферические емкости различного размера будут двигаться с одинаковой скоростью.

Рассмотрим действие переменного (градиентного) давления на пустую сферическую емкость объемом V, рис. 5. Пусть градиент давления в среде возрастает по линейному закону, P = nt, где n — некая постоянная, t — расстояние по

нормали от плоской поверхности, на которой  $P = {\rm const.}$  Эквипотенциальные поверхности равного давления среды параллельны свободной плоской поверхности. На схеме, рис. 5, давление возрастает

в направлении от точки l к точке h, причем верхняя кромка сферы находится вровень с плоскостью (свободной поверхностью), на которой P=0.



1.**Рис. 5.** Схема действия сил на тело, находящееся в градиентной среде.

Как известно, объем шара радиусом R равен

$$V = \frac{4}{3}\pi R^3 \tag{2}$$

Считаем, что емкость находится в среде, плотность которой составляет величину  $\delta$ . Будем также считать, что стенки емкости достаточно прочные и настолько тонкие, что их весом можно пренебречь. На внешнюю стенку емкости среда будет оказывать градиентное давление. Оно будет увеличения возрастать ПО мере глубины рассматриваемой точки на боковой поверхности сферы. На глубине h сила, приложенная к каждой точке поверхности (рис. 5) будет равна  $F_h = -2q \delta \cdot R$ , где q — некоторое ускорение, которое придается емкости при данном градиенте повышения давления в среде с плотностью  $\delta$ . Считаем, что в каждой точке среды давление (сила) передается гидростатически, т.е. одинаково по величине во все стороны, на каждую внешнюю площадку сферы, за исключением поверхности с точкой l, на которой давление будет равно нулю. Величина силы в каждой точке на поверхности сферы может быть рассчитана по формуле  $F_t = -q \delta t$ .

Величину  $F_t$  по правилу параллелограмма сил разложить составляющие - горизонтальную и вертикальную. Величина горизонтальной составляющей силы  $F_{\mathfrak{g}}$ будет полностью уравновешена такой составляющей противоположной В точке, расположенной на том же расстоянии Вертикальная составляющая силы  $F_{\nu}$ , в точках, расположенных на нижней полусфере (рис. 5) лишь частично скомпенсирована вертикальной составляющей, действующей в верхней полусфере, так как расстояние t точек на поверхности верхней полусферы до свободной поверхности меньше, чем точек нижней.

Для оценки величины силы, действующей на емкость, определим сумму сил F, на нижнюю и верхнюю полусферы, рис. 5. Вертикальная составляющая силы на нижнюю полусферу при движении вдоль дуги от точки h к точке k будет изменяться как,

$$F_{vu} = -q \, \delta R \cdot \sin \alpha \, (1 + \sin \alpha). \tag{3}$$

Сумма сил на нижнюю полусферу  $F_l$  будет равна определенному интегралу произведения  $F_{vu}$  на площадь нижней полусферы S с учетом

изменяющейся величины вертикальной проекции от точки h к точке k, на которую действует сила  $F_{vu}$ ,

$$S = 2\pi R^2 \cos \alpha. \tag{4}$$

Таким образом,

$$F_{l} = -2\pi q \delta R^{3} \left\{ \int \sin \alpha \cos \alpha d\alpha + \int \sin^{2} \alpha \cos \alpha d\alpha \right\} = -\frac{5}{3}\pi q \delta R^{3}$$

$$0 \qquad (5)$$

Аналогичным образом определим верхнюю полусферу, рис. 5. Применяя вертикальную составляющую давления  $F_u$  на аналогичные действия, получим,

$$F_{u} = -2\pi q \,\delta R^{2} \left\{ \int_{0}^{\pi/2} \sin \beta \cos \beta d\beta - \int_{0}^{\pi/2} \sin^{2} \beta \cos \beta d\beta \right\} = -\frac{1}{3}\pi q \,\delta R^{3}$$

$$(6)$$

Следует учесть, что вектор  $F_u$  направлен противоположно силе  $F_l$ , действующей на нижнюю полусферу. Поэтому для получения величины силы

F на всю сферу необходимо вычесть из выражения (5) выражение (6). В итоге получим,

$$F = F_l - F_u = -\frac{4}{3}\pi q \,\delta \mathbb{R}^3, \,\kappa_{2} \cdot M \,c^{-2}.$$
 (7)

Величина F выражает суммарную силу, действующую на сферическую емкость радиусом R, находящуюся в градиентной среде с плотностью  $\delta$ . Сравнение формулы (7) с формулой (2) показывает, что если тело (рис. 5) наполнить средой, то вес этой среды будет в точности равен выталкивающей силе, приложенной к пустому телу.

Таким образом, на емкость, находящуюся в градиентной среде, будет действовать постоянная

по величине (в пределах некоторых условий) ориентированная перпендикулярно эквипотенциальным поверхностям равного давления и направленная в сторону уменьшения градиента, сила. Если среда имеет плотность  $\delta$ , то сила, действующая на пустое тело произвольной формы будет равна произведению объема тела V, ускорения q и плотности  $\delta$ ,

$$F = -V \cdot q \delta, \kappa z \cdot M/c^2. \tag{8}$$

Это выражение отражает принцип Архимеда, выдвинутый около 246 году до н.э. в такой формулировке: «Любой объект, полностью или частично погруженный в жидкость, удерживается на плаву силой, равной весу жидкости, вытесняемой объектом» [8].

Свободная от внешних связей емкость (рис. 5) под действием силы F будет двигаться ускоренно в направлении уменьшения градиента давления. Величина этого ускорения q будет равна

$$q = -F/(V\delta). (9)$$

Представим себе, что имеется другая емкость, объем которой отличается в K-раз от сферы объемом V. Согласно формуле (8), действующее на

эту емкость сила  $F_k$  будет также отличаться ровно в K раз,

$$F_k = -KV \cdot q \delta = -K F. \tag{10}$$

При этом, ее ускорение останется тем же, так как сила изменилась в K-раз и объем также в K-раз стал другим,

$$q = -F_k/(KV\delta) = -KV \cdot q\delta/(KV\delta) = q.$$
 (11)

Отсюда следует важный вывод: емкости разного объема, находящиеся в одной и той же градиентной среде, приобретают в свободном движении одно и то же ускорение. Свободная от внешних связей пустая емкость будет двигаться ускоренно. Вектор ее движения направлен по нормали к эквипотенциальным поверхностям равного давления среды.

Теперь представим, что емкость (рис. 5) перемещена, например, на расстояние t=100R от свободной плоскости. Тогда ее нижняя точка h будет находиться на глубине 102R. Несложные расчеты показывают, что и здесь ускорение q будет

(если среда несжимаема) также определяться выражением (9). Отсюда следует, что перемещение герметичной пустой емкости объема V в направлении возрастания (снижения) давления среды на какое-либо расстояние не изменяет величину ускорения q движения этой емкости. Заметим, что рассматриваемый механизм взаимодействия градиентной среды с емкостью (телом) осуществляется без механического одностороннего контакта с другим физическим телом, соблюдая принцип близкодействия.

Вышеизложенное позволяет сформулировать положения, определяющие состояние и движение

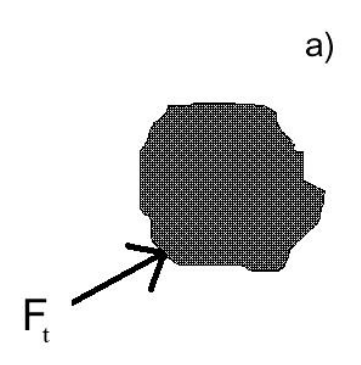
объемов (тел), погруженных в градиентную среду, в которой давление возрастает (снижается) линейно, прямо пропорционально вдоль вектора изменения давления.

Первое положение. На тело, находящееся в среде с линейно возрастающим (убывающим) градиентным давлением, будет действовать постоянная по величине сила, ориентированная перпендикулярно эквипотенциальным поверхностям равного градиента и направленная в сторону уменьшения градиента. Сила, действующая на тело будет равна произведению объема тела, плотности среды и величины ускорения (принцип Архимеда).

Второй положение. Ускорение, приобретаемое пустой герметичной емкостью в градиентной среде, не зависит от объема, которые занимает емкость. Ускорение, приобретаемое телом с плотностью  $\Box$ , погруженным в градиентную среду с плотностью  $\delta$  не зависит от объема, занимаемого телом, если плотность  $\Box$  меньше плотности  $\delta$ .

Третье положение. В градиентной среде тела разного объема, но одинаковой плотности приобретают равное ускорение.

Четвертое положение. Перемещение тел в направлении возрастания (снижения) давления среды на какое-либо расстояние не изменяет величину ускорения q движения этих тел.



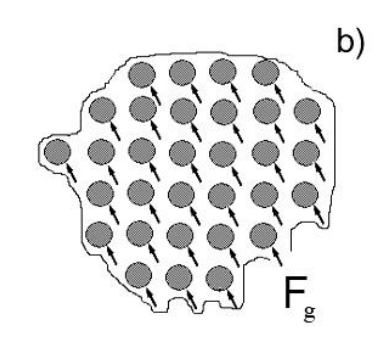


Рис. 6. Два вида силовых воздействий на физические тела. Сила Ft действует через непосредственный контакт одного физического тела на другое (а). Градиент Fg воздействует на каждую элементарную массу физического тела в гравитационном поле (b).

Положения, перечисленные выше будут выполняться, если среда, в которую погружены тела, обладает линейно изменяющимся градиентным давлением, не проявляет эффекты вязкости, внутреннего трения и практически несжимаема. Изложенные положения представляют собой иной механизм тел и действующих на них сил, чем законы Ньютона. Отличия действия сил на тела условно отражены на рис. 6.

Соблюдение принципа Архимеда и закона Галилея показывает, что тела, находящиеся в поле земного тяготения, их состояние и движение, практически подчиняются перечисленным положениям. Исходя из принципа близкодействия и вышеизложенных положений, следует считать, что земные и небесные тела погружены в градиентную среду. В космическом пространстве движения небесных тел: планет, астероидов, комет и других, совершаются без значимого изменения их скорости в течение миллиардов лет. Их движение происходит без прямого контакта с другими физическими телами. Их орбитальное движение совершается вокруг центра, в котором находится большое массивное тело, - планета или звезда. Судя по особенностям движения небесных тел, в среде, которая заполняет межзвездное, галактическое пространство, практически проявления вязкости и внутреннего трения.

Выдающий философ Аристотель древней Греции считал, что существует тончайшая мировая

стихия — эфир [9]. Эта мировая стихия пронизывает всё, - и вещество и пространство. Современное описание эфира (эфирной среды) включает его физические свойства, структуру, особенности взаимодействий с физическими телами [10]. Согласно изложенной теории, эфирная среда является квазитвердым телом, практически лишенным свойств вязкости и трения. Она состоит из равных, но противоположных по знаку электрически заряженных частиц. Эфирная среда может испытывать статические и динамические, скручивающие, слвиговые, крутильные деформации. Она является основой для распространения электромагнитных колебаний. При определенной деформации эфирной среды возникает градиент давления, приводящий к возникновению сил притяжения физических тел друг к другу.

Изложенные выше положения, постулирующие состояние и поведение тел в прояснить градиентной позволяют среде, некоторые особенности взаимодействия эфира с физическим веществом. Как уже было упомянуто, измеренное гравитационное ускорение нейтронов, в пределах точности эксперимента, совпадает с гравитационным ускорением макроскопических тел. Нейтрон имеет шарообразную форму [11]. В градиентной эфирной среде ОН включением (рис. 5) и его свободное движение подчиняется закономерностям, отраженным формулами (9, 11). Масса нейтрона равна  $m_n =$ 

1.00867 атомных единиц массы. Она практически не отличается от массы протона ( $m_p = 1.00728$  а.е.м.) [12, 13]. При этом, имеется элемент, ядро которого одного протона. Это водород состоит первый элемент Периодической (протий) таблицы. Диаметр ядра атома водорода точно известен. Он равен  $2.6 \cdot \square \square^{\square\square\square} \square M$  [14]. Близость масс нейтрона и протона позволяет сделать заключение о близости их размеров. Ядро атома любого элемента Периодической представляет собой сумму (кроме атома водорода, протия) протонов и нейтронов. Находясь в гравитационном поле, нейтроны и протоны испытывают давление структурных элементов эфирной среды.

Как известно, атом содержит ядро и электроны. Ядро находится в центре структуры атома, электроны - на внутренних и внешней оболочках. Соотношения суммарной массы электронов к массе ядра в атоме вещества составляет примерно 1/2000 [11]. Поэтому основная масса атома сосредоточена в ядрах атомов. И капельная и оболочечная модель ядра, по мнению исследователей, представляет собой сферу [11, 15]. Близость масс нейтрона и протона, а также их размеров, позволяет предполагать, плотность ядер, вне зависимости от расположения элемента в Периодической таблице, одинакова [15]. В известной степени, одинаковая плотность ядер элементов подтверждается обнаруженной зависимостью плотности металлов от параметров атомов [16]. В свою очередь, эта особенность обусловливает, согласно третьему положению, одинаковое ускорение ядер атомов в градиентном поле вне зависимости от числа протонов и нейтронов, содержащихся в них. По сути, в этом механизме и заключается наблюдаемое одинаковое ускорение пера и свинцовой дробинки в безвоздушном пространстве.

### ЗАКЛЮЧЕНИЕ

Положения, сформулированные выше, позволяют сделать вывод, что на тело, погруженное в градиентную среду, действует иной механизм приложения сил, отличный от законов Ньютона. В градиентной среде действует принцип Архимеда и закон Галилея. Принцип Архимеда определяет силы, действующие на тело, находящееся в градиентной среде. Закон Галилея постулирует равенство ускорения различных по массе тел. Наблюдаемые проявления гравитации позволяют считать, что все физические тела, - космические объекты, например, такие как планеты, а также и микрообъекты, такие как атомы, ядра атомов, нейтроны и др., погружены в эфирную среду. В эфирной среде может возникать градиент давления. Этот градиент непосредственно воздействует на ядра и электроны атомов, образуя силы, побуждающие их к движению с определенным ускорением. Ускорение, приобретаемое атомами, содержащими тяжелые и легкие ядра, одинаково по величине. Соответственно, тяжелые, как и легкие физическое тела В гравитационном приобретают одинаковое ускорение.

#### Литература

- 1.Newton, I. Philosophiae Naturalis Principia Mathematica. 1687.
- 2.Drake, Stillman. Galileo at work: his scientific biography. Facsim., Mineola (N.Y.): Dover publ.
- 3.https://vk.com/video-149124379 456240240?ref domain=yastatic.net
- 4. Salah, E. Neutrons in Gravitational Field. Advances in Physics Theories and Applications. 2016. Vol. 51, Pp. 82-84.
- 5. Физический энциклопедический словарь. М.: Большая Российская энциклопедия. 1995.
- 6.Киселёв П. Г. Гидравлика: основы механики жидкости. Учеб. пособие. М.: ЭНЕРГИЯ, 1980. 360 с.
- 7. Чанцев В.Ю. Определение параметров воздушно-пузырькового барботажа в воде. Журнал Проблемы арктики и антарктики. 2017. 1 (111). С. 39-45.
- 8. Dijksterhuis, E. J. Archimedes. Copenhagen: E. Munksgaard. 1956.
- 9. Ackrill, John Lloyd. Aristotle the Philosopher. New York, NY: Oxford University Press. 1981.
- 10. Горбацевич Ф.Ф. Эфирная среда и гравитация. М: Книжный дом ЛИБРОКОМ. 2013. 152 с.
- 11. Bethe G., Morrison, F. Elementary Theory of the Nucleus. John Wiley & Sons, Inc.; 2nd edition. 1961.
- 12.Basdevant, J.-L.; Rich, J.; Spiro, M. Fundamentals in Nuclear Physics. Springer. 2005.
- 13. Сивухин Д.В. Атомная и ядерная физика. М.: ФИЗМАТЛИТ. 2006. Т. 5. 784 с.
- 14.Gorbatsevich F.F. On the Problem of Determining the Density of the Metallic Phase of the Periodic Table Elements. Journal of Physics & Optics Sciences. 2023. Vol. 5, No. 5. Pp. 2-6. DOI: doi.org/10.47363/JPSOS/2023(5)208
- 15.Ишханов Б.С., Капитонов И.М., Юдин Н.П. Частицы и атомные ядра. М.: ЛЕНАНД. 2019. 672 с.
- 16. Горбацевич Ф.Ф. Физические категории масса и плотность тел // Прикладная физика и математика. 2023. №3. С. 14–23. https://doi.org/10.25791/pfim.03.2023.1258.

### Евразийский Союз Ученых.

### Серия: технические и физико-математические науки

# Ежемесячный научный журнал № 5 (130)/2025 Том 1

### ГЛАВНЫЙ РЕДАКТОР

### Макаровский Денис Анатольевич

AuthorID: 559173

Заведующий кафедрой организационного управления Института прикладного анализа поведения и психолого-социальных технологий, практикующий психолог, специалист в сфере управления образованием.

### РЕДАКЦИОННАЯ КОЛЛЕГИЯ

### Штерензон Вера Анатольевна

AuthorID: 660374

Уральский федеральный университет им. первого Президента России Б.Н. Ельцина, Институт новых материалов и технологий (Екатеринбург), кандидат технических наук

### Синьковский Антон Владимирович

AuthorID: 806157

Московский государственный технологический университет "Станкин", кафедра информационной безопасности (Москва), кандидат технических наук

### Штерензон Владимир Александрович

AuthorID: 762704

Уральский федеральный университет им. первого Президента России Б.Н. Ельцина, Институт фундаментального образования, Кафедра теоретической механики (Екатеринбург), кандидат технических наук

### Зыков Сергей Арленович

AuthorID: 9574

Институт физики металлов им. М.Н. Михеева УрО РАН, Отдел теоретической и математической физики, Лаборатория теории нелинейных явлений (Екатеринбург), кандидат физ-мат. наук

### Дронсейко Виталий Витальевич

AuthorID: 1051220

Московский автомобильно-дорожный государственный технический университет (МАДИ), Кафедра "Организация и безопасность движения" (Москва), кандидат технических наук

Статьи, поступающие в редакцию, рецензируются. За достоверность сведений, изложенных в статьях, ответственность несут авторы. Мнение редакции может не совпадать с мнением авторов материалов. При перепечатке ссылка на журнал обязательна. Материалы публикуются в авторской редакции.

Журнал зарегистрирован Федеральной службой по надзору в сфере связи, информационных технологий и массовых коммуникаций.

Художник: Валегин Арсений Петрович Верстка: Курпатова Ирина Александровна

### Адрес редакции:

198320, Санкт-Петербург, Город Красное Село, ул. Геологическая, д. 44, к. 1, литера А E-mail: info@euroasia-science.ru; www.euroasia-science.ru

Учредитель и издатель ООО «Логика+» Тираж 1000 экз.